

Silicon Carbide 쇼트키 정류기의 모델링

論文

49C - 2 - 2

Modeling the Silicon Carbide Schottky Rectifiers

李裕相*·崔然益**·韓民九***
(You-Sang Lee · Yearn-Ik Choi · Min-Koo Han)

Abstract - The closed-form analytic solutions for the breakdown voltage of 6H-SiC RTD(silicon carbide reachthrough diode) having metal-n-n' Schottky structure or p'-n-n', are successfully derived by solving the impact ionization integral using an effective ionization coefficient. For the lightly doped n' epitaxial layer, the breakdown voltages of SiC RTD are nearly constant with the increased doping concentration while the breakdown voltages decrease for the heavily doped epitaxial layer.

Key Words : 6H-SiC RTD(reachthrough diode), breakdown voltage, effective ionization coefficient

1. 서 론

에너지 밴드-갭(energy band-gap)이 큰 SiC(Silicon Carbide)는 Si이나 GaAs 반도체에 비해 항복전압이 높고 고온동작에 유리하므로, 차세대 전력 반도체 소자로서 지대한 관심을 끌고 있다. 가장 기본적인 소자는 쇼트키 또는 p'n 접합을 이용한 정류기이다.

일반적으로 다이오드는 저농도 영역의 n' 에피층(epitaxial layer)이 완전히 공핍(depletion)되는가의 여부에 따라, 논리치스루와 리치스루 구조로 나눌 수 있으며[1], 그림 1에 각 다이오드의 단면도 및 전계분포를 나타냈다.

한편, 논리치스루, 리치스루 다이오드 모두 순방향에서 온-저항은 작을수록 좋고, 역방향에서 항복전압은 클수록 좋다. 따라서 항복전압이 같을 경우, 단위 면적당 온-저항을 작게 하는 것이 유리하다. RTD는 에피층의 두께를 얇게 하고 불순물 농도를 낮게 함으로써, NRTD와 같은 항복전압을 유지하며, 온-저항이 작게 설계할 수 있다. 즉, 에피층의 불순물 농도, N_D와 에피층의 두께, W_{epi} 를 조절하여 NRTD보다 우수한 소자를 얻을 수 있다.

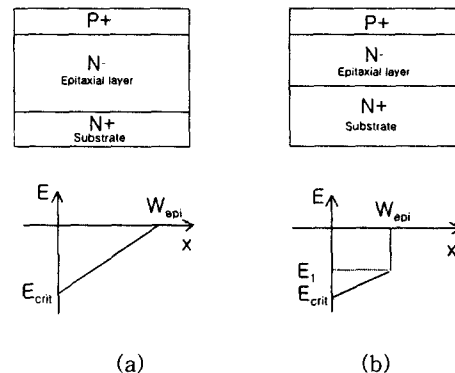


그림 1 논리치스루와 리치스루 다이오드의 단면도 및 전계분포
(a) 논리치스루 다이오드 (b) 리치스루 다이오드

Fig. 1 Electric field and cross-section of
(a) non-reachthrough and (b) reachthrough diode

현재 SiC 논리치스루 다이오드의 항복전압에 관한 실험 결과 및 해석적 모델이 보고된 바 있으나, 리치스루 다이오드에 관한 실험결과 및 모델은 알려진 바 없다. 따라서 리치스루 SiC 다이오드의 항복전압에 대한 해석적인 식이 필요하다.

그림 2는 1997년 ISPSD(International Symposium on Power Semiconductor Devices)에 발표된 4H-SiC 리치스루 다이오드의 계산된 항복전압을 보여주고 있다[2].

*準會員：서울大 電氣工學部 博士課程
**正會員：亞洲大 分子科學技術學科 教授·工博
***正會員：서울大 電氣工學部 教授·工博
接受日字：1999年 5月 31日
最終完了：1999年 12月 29日

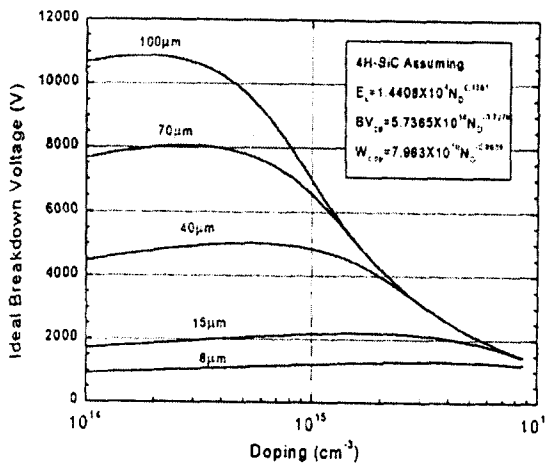


그림 2 4H-SiC RTD의 항복전압의 계산치[2]

Fig. 2 Calculated breakdown voltages in 4H-SiC RTD[2]

그림 2에서 에피층의 불순물 농도가 10^{14} cm^{-3} 에서 10^{15} cm^{-3} 으로 증가함에 따라 항복전압도 증가하고 있다. 이러한 결과는 항복전압을 계산할 때, 리치스루가 아닌 논리치스루 조건의 임계전계(critical electric field)를 사용했기 때문이다.

본 논문에서는 위와 같은 문제점을 인식하고, 리치스루 구조의 임계전계를 구한 후, 이를 사용하여 충돌이온화적분(impact ionization integral)을 수행함으로써, 리치스루-다이오드의 항복전압에 대한 해석적 식을 유도하였다.

2. 항복전압에 관한 해석적 모델

그림 1(b)의 RTD의 단면도와 일차원 전계분포에서, 단방향 계단형(one-sided step) p⁺-n⁻ 접합과 공핍근사를 가정하면, Poisson 방정식은 식(1)과 같이 된다.

$$\frac{d^2V}{dx^2} = -\frac{dE}{dx} = -\frac{qN_D}{\epsilon_{SiC}} \quad (1)$$

이때, q는 전자전하량, ϵ_{SiC} 는 SiC의 유전율, N_D는 에피층의 불순물 농도이다.

식(1)을 x에 대해 적분하면 식(2)를, 그림 2에서 사다리꼴 면적을 계산하면 식(3)을 각각 얻는다.

$$E(x) = \frac{qN_D}{\epsilon_{SiC}} x - E_{crit} \quad (2)$$

$$V_B = \frac{1}{2}(E_{crit} + E_i) \times W_{epi} \quad (3)$$

$$\text{where } E_i = E(W_{epi}), \quad E_{crit} = \frac{V_B}{W_B} + \frac{qN_D W_{epi}}{2\epsilon_{SiC}} \quad (4)$$

한편, avalanche breakdown 조건을 만족해야 하므로, 이온화적분식은 다음과 같이 표시되며[1,3], 상세한 내용은 부

록 1에 나타났다.

$$\int_0^{W_{epi}} 8.0 \times 10^{-54} E^9 dx = 1 \quad 10^{14} \text{ cm}^{-3} \leq N_D \leq 10^{16} \text{ cm}^{-3} \quad (5)$$

식(2), (3), (4)를 식(5)에 대입하여 풀면, 항복전압, V_B, 에피층 두께, W_{epi}와 불순물 농도, N_D를 변수로 하는 식(6)이 유도된다.

$$\left(\frac{V_B}{W_{epi}} + \frac{qN_D W_{epi}}{2\epsilon_{SiC}} \right)^{10} - \left(\frac{V_B}{W_{epi}} - \frac{qN_D W_{epi}}{2\epsilon_{SiC}} \right)^{10} - \frac{10qN_D}{8.0 \times 10^{-54} \epsilon_{SiC}} = 0 \quad (6)$$

식(6)의 항복전압을 불순물 농도 및 두께의 함수로 그리면 그림 3과 같이 되며, 그림 2의 결과[2]와 달리, 낮은 불순물 농도 영역에서 항복전압은 불순물 농도에 거의 무관하게 일정한 것을 알 수 있다. 일반적으로 불순물 농도가 낮은 영역 (그림 3의 경우 $10^{14} \text{ cm}^{-3} \sim 10^{16} \text{ cm}^{-3}$)에서, 불순물 농도가 증가해도 RTD의 항복전압은 증가하지 않고 거의 일정하다는 결과와 잘 일치하고 있다.

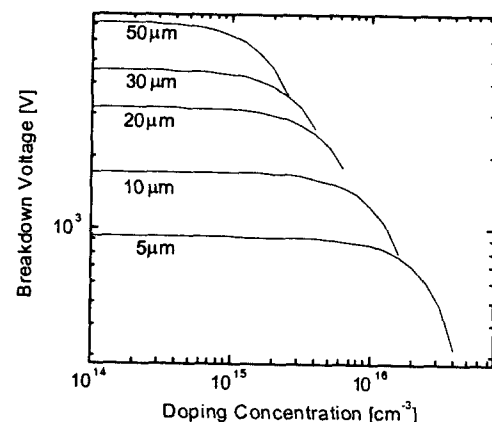


그림 3 6H-SiC RTD에서의 유도된 항복전압

Fig. 3 Derived breakdown voltage of 6H-SiC RTD

그림 1과 같이 불순물 농도가 낮은 영역에서 항복전압이 증가한 것은 RTD가 아닌 NRTD의 임계 전계를 통해 계산되었기 때문이다. 형태와 계산이 복잡한 식(6)을 explicit한 근사식으로 변형하면[자세한 내용은 부록2 참조], 불순물 농도가 낮을 때는 식(7)로, 불순물 농도가 높을 때는 식(8)로 표현 할 수 있다. 두 영역의 사이에서는 식(9)를 그대로 사용해야 한다.

$$N_D \leq 7.776 \times 10^{11} W_{epi}^{-1.111} \text{ 일 때, } V_B = 7.937 \times 10^5 W_{epi}^{0.8889} \quad (7)$$

$$N_D \geq 1.818 \times 10^{12} W_{epi}^{-1.111} \text{ 일 때, }$$

$$V_B = 5.454 \times 10^4 N_D^{0.1} W_{epi}^{0.1} - 9.315 \times 10^{-8} N_D W_{epi}^2 \quad (8)$$

그림 4는 유도된 근사식(7)과 식(8)이 식(6)과 잘 일치하는 것을 보여주고 있어, 근사식의 타당성을 확인하였다.

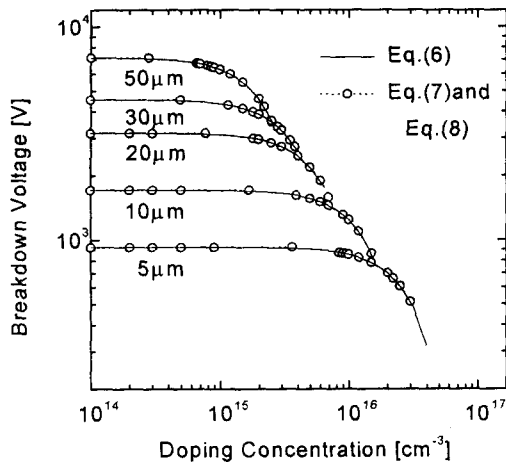


그림 4 유도된 항복전압의 근사식(7), (8)과 식(6)의 비교
Fig. 4 Comparison between approximated eqs. (7) & (8) and the eq. (6)

RTD의 항복전압은, 낮은 불순물 농도에서는 농도와 무관하게 거의 일정하였다. 또한, 높은 불순물 농도에서는 참고문헌 [2]에서 유도된 NRTD의 항복전압과 잘 일치한 것을 확인하였다.

3. 결 론

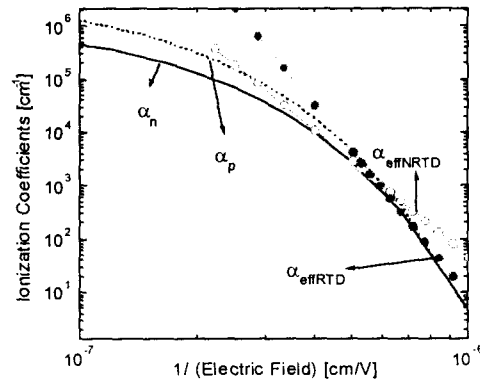
RTD의 이온화적분과 근사 기법을 사용하여, SiC RTD의 항복전압에 관한 해석적 모델을 간단한 closed-form으로 유도하였다. 낮은 불순물 농도에서 RTD의 항복전압은 농도와 무관하게 거의 일정하였으며, 참고문헌[2]의 오류를 수정하였다. 또한, 높은 불순물 농도에서는 참고문헌 [2]에서 유도된 NRTD의 항복전압과 잘 일치한 것을 확인하였다. 한편, 이온화 계수를 알면, 항복전압을 구할 수 있도록 일반적 수식을 유도하여, 4H-SiC나 Si에서도 RTD의 항복전압을 계산식에 의해 쉽게 얻을 수 있도록 하였다. 본 해석적 모델은 리치스루 구조를 도입한 전력 MOSFET이나 정류기와 같은 SiC 정류기의 설계에 도움이 될 것으로 기대된다.

부 록

1. 6H-SiC의 유효 이온화 계수는, RTD의 바탕 농도인 10^{14} cm^{-3} 과 10^{16} cm^{-3} 영역에서 전자 및 정공의 이온화 계수, α_n and α_p 를 근사 통합하여 다음 식(1-1)과 같이 추출했다.

$$\alpha_{\text{eff}} = 8.0 \times 10^{-54} E^9 [\text{cm}^{-6}] \quad \text{for } 6H-\text{SiC} \text{ in } 10^{14} \leq N_D \leq 10^{16} \quad (1-1)$$

부록 그림 1은 새롭게 추출된 유효 이온화 계수가 낮은 에피층 불순물 농도 영역에서 기존의 NRTD에서의 유효 이온화 계수보다 더욱 타당함을 보여주고 있다.



부록 그림 1 6H-SiC의 α_n , α_p 와 추출된 유효 이온화 계수
Appendix Fig. 1 α_n , α_p and extracted effective ionization coefficient of 6H-SiC.

2 낮은 불순물 농도영역과 높은 불순물 농도영역으로 구간을 나누어 설정한다. 아래와 같이 a, b, c를 정의하면, 본문의 식(7)을 부록 식(2-1)로 표현할 수 있다.

$$(\alpha + \beta)^{10} - (\alpha - \beta)^{10} = \gamma \quad (2-1)$$

$$\text{여기서 } \alpha = \frac{V_B}{W_{\text{epi}}} \quad \beta = \frac{qN_D W_{\text{epi}}}{2\varepsilon_{\text{SiC}}} \quad \gamma = \frac{10qN_D}{8.0 \times 10^{-54} \varepsilon_{\text{SiC}}}$$

식(2-1)을 풀어서 정리하면, 아래와 같은 식(2-2)를 얻는다.

$$20\alpha\beta\{\alpha^8 + 12\alpha^6\beta^2 + 63\alpha^4\beta^4 + 12\alpha^2\beta^6 + \beta^8\} = \gamma \quad (2-2)$$

$(\alpha + \beta)^{10} \gg (\alpha - \beta)^{10}$ or $(\alpha + \beta)^{10} \gg 100(\alpha - \beta)^{10}$ 인 영역1에서는, (2-1)은 (2-3)으로 근사 할 수 있다.

$$(\alpha + \beta)^{10} \approx \gamma \quad (2-3)$$

한편, $\alpha^2 \gg 12\beta^2$ or $\alpha^2 \gg 120\beta^2$ 인 영역2에서는, (2-2)는 (2-4)로 정리된다.

$$20\alpha^9\beta = \gamma \quad (2-4)$$

이제 α, β, γ 의 치환하기 이전의 값을 (2-3), (2-4)에 각각 대입하여 정리하면, RTD의 항복전압을 아래의 (2-5), (2-6)과 같이 두 영역에서, 에피층의 불순물 농도와 에피층 두께의 함수로 유도할 수 있다.

$$N_D \leq 7.7764 \times 10^{11} W_{\text{epi}}^{-1.111} \text{ 일 때},$$

$$V_B = 7.937 \times 10^5 W_{\text{epi}}^{0.8889} \quad (2-5),$$

$$N_D \geq 1.8178 \times 10^{12} W_{\text{epi}}^{-1.111} \text{ 일 때},$$

$$V_B = 5.454 \times 10^4 N_D^{0.1} W_{\text{epi}} - 9.315 \times 10^{-8} N_D W_{\text{epi}}^2 \quad (2-6),$$

3. 4H-SiC 와 6H-SiC 또한 Si의 경우 모두, 유효 이온화 계수는 다음과 같이 일반화 할 수 있다.

$$\alpha_{\text{eff}} = M \cdot |E(x)|^m \quad (3-1)$$

이 때, m은 정수

(3-1)을 본문 식(5)에 대입하여 풀면, 다음과 같은 일반화 된 RTD의 항복전압을 구할 수 있다.

$$N_D \geq k^{\frac{m+1}{m}} \left(\frac{\varepsilon}{q} \right) \left(\frac{m+1}{M} \right)^{\frac{1}{m}} W_{\text{epi}}^{-\frac{m+1}{m}} \quad \text{일 때}$$

$$V_B = \left\{ \frac{q(m+1)}{M \cdot \varepsilon} \right\}^{\frac{1}{m+1}} N_D^{\frac{1}{m+1}} W_{\text{epi}} - \left(\frac{q}{2\varepsilon} \right) N_D W_{\text{epi}}^2 \quad (3-2)$$

$$k = \frac{100^{\frac{1}{m+1}} - 1}{100^{\frac{1}{m+1}}} \quad \text{단,}$$

$$N_D \leq \sqrt{\frac{6}{m(m-1)} \left(\frac{\varepsilon}{5q} \right) M^{\frac{1}{m}} W_{\text{epi}}^{-\frac{m+1}{m}}} \quad \text{일 때,}$$

$$V_B = \left(\frac{1}{M} \right)^{\frac{1}{m}} W_{\text{epi}}^{\frac{m-1}{m}} \quad (3-3)$$

(3-3)에서 보듯이, 물질의 종류에 상관없이, RTD의 경우에 피증의 불순물 농도가 낮은 경우에는 항복전압이 불순물 농도와 무관하게 거의 일정하다는 것을 알 수 있다.

감사의 글

이 논문은 1998년도 한국대학교육협의회 대학교수 국내교류 연구비 지원에 의한 것임.

참 고 문 헌

- [1] B. J. Baliga, *Modern Power Devices*, Jone Wiley & Sons, 1987.
- [2] J. W. Palmour, et al., Silicon carbide for power devices, Proc. ISPSD'97, pp. 25-32, 1997.
- [3] Dae-Seok Byeon, Min-Koo Han, and Yearn-Ik Choi, Analytical solution of the breakdown voltage for 6H-silicon carbide p+n junction, *J. Appl. Phys.*, Vol.79, No.5, pp. 2796-2797, 1996.

저 자 소 개



이 유 상 (李 裕 相)

1973년 12월 9일 생. 1997년 서울대학교 전기공학부 공학사. 1999년 동 대학원 전기공학부 졸업(석사). 1999년~현재 동 대학원 전기공학부 박사과정.

Tel : 02-880-7254



최 연 익(崔 然 益)

1953년 11월 23일 생. 1976년 서울대 공대 전자공학과 졸업. 1981년 한국과학기술원 졸업(공박). 1982년 UC Berkeley 전기 및 전산공학과 Research Associate. 현재 아주대 분자과학기술학과 교수. 주관심분야 : 전력반도체소자, TFT.



한 민 구(韓 民 九)

1948년 7월 21일 생. 1971년 서울대 공대 전기공학과 졸업. 1979년 미국 Johns Hopkins Univ. 졸업(공박). 1979년 미국 뉴욕 주립대 조교수. 현재 서울대 공대 전기공학과 교수